

## 1. まえがき

特に軟弱な地盤の地震応答特性を解析するにあたり、筆者は Odriess と Seed<sup>(1)</sup> に習い、剪断連続梁としての等価質量-バネ系に置換して考慮する方法を使用してきた。地盤成多層になると従って固有振動方程式が著しく複雑な超越方程式になるため解析は困難になるが、Newton の逐次近似法（数値解法）を使用することにより真の値に近い固有値を求めることができた。そのため、多層地盤の地震応答も簡単に扱うことが可能になった。

ここでは青森県津軽大橋架設地央の軟弱層を例にとって同方法により解析を行ひ、合せて人工地震による弾性波記録の解析から得た地中の振幅分布と比較し検討してみた。

## 2. 理論の概要

地震時にみる限り、一般には S 波が主となり卓越することから、今地動は剪断変形のみによって上方に伝播すると考える。地盤が水平で、しかも水平方向に等質であれば地盤の横方向への広がりは地震応答には影響を与えないと思做して、地盤を単位の柱状連続梁に置換して考え、その振動をもって地盤全体の振動を論ずることにする。つまり地盤に対して基盤を完全な剛体として扱い、地震動を一端固定剪断連続梁の強制振動と解してやる。

## i) 剪断振動方程式とそのモード解

多層地盤について、剪断梁の k番目の層の振動方程式は梁の微小部分の動的なつりあいを考えると、

$$\rho_k \frac{\partial^2 u_k}{\partial t^2} + c_k \frac{\partial u_k}{\partial t} = \frac{\partial}{\partial z} \left\{ G_k \frac{\partial u_k}{\partial z} \right\} \quad (1)$$

で表わせる。ここに、 $\rho_k$ 、 $c_k$  および  $G_k$  は密度、粘性減衰係数および剪断弾性係数で、 $z$  は深さ・ $t$  における時刻  $t$  での水平  $z$  方向変位である。式(1)は二階偏微分方程式であるが、変数分離法によりモード型と固有振動数を導くことから解けよう。変数分離した  $z$  のみ  $t$  のみの式は、

$$u_k(z, t) = \sum_{n=1}^{\infty} Z_{kn}(z) \cdot T_{kn}(t) \quad (2)$$

を適当に式(1)に代入して次のよう表現せよ。

$$\frac{d^2 Z_{kn}}{dz^2} + \alpha_k^2 p_n^2 Z_{kn} = 0 \quad (3) \quad \frac{d^2 T_{kn}}{dt^2} + 2h_n p_n \frac{dT_{kn}}{dt} + p_n^2 T_{kn} = 0 \quad (4)$$

ここで、 $\alpha_k = \sqrt{\rho_k / G_k}$ 、 $h_n = c_k / 2\rho_k p_n$  および  $c_k / \rho_k = C_{k+1} / \rho_{k+1}$  である。

そして固有モード型  $Z_{kn}(z)$  および式(4)の右辺に時間のみの肉数である強制力  $\{-\rho_k d^2 g(t) / dt^2\}$  を加えた場合の  $T_{kn}(t)$  はその半減期

$$Z_{kn} = A_k \cos \alpha_k p_n z + B_k \sin \alpha_k p_n z \quad (5)$$

$$T_{kn} = -R_{kn} \int_0^t \ddot{g}(\tau) e^{-h_n p_n (t-\tau)} \sin p_n \sqrt{1-h_n^2} (t+\tau) d\tau \quad (6)$$

になる。ここに、n 次モード展開係数  $R_{kn}$  はモード型  $Z_{kn}$  を用いて次式で求まる。

$$R_{kn} = \frac{1}{M_n} \int_0^l F(s) Z_{kn}(s) ds \quad (0 \leq s = \frac{H_k - z}{\ell_k} \leq 1) \quad (7)$$

ただし、 $M_n$  は直交条件を満たす  $n$  次モード一般質量で  $M_n = \int_0^l Z_{kn}^2(s) ds$  で表わされる。

なお、式(5)の係数  $A, B$  よび固有振動数方程式は境界条件から決まる。各層の境界でその上層と下層の変位が等しく、剪断应力が相等しい。また自由表面では水平剪断应力が 0 で、基盤との境界では地盤に対して基盤を剛体と見做して相対変位を 0 とする。

四層地盤の場合の固有モード型は

$$Z_{1n}(z) = A \cos \beta_1 z \quad (0 \leq z < H_1) \quad (8)$$

$$Z_{2n}(z) = A \{ C_1 \cos \beta_2 (z - H_1) - \alpha_1 S_1 \sin \beta_2 (z - H_1) \} \quad (H_1 \leq z < H_2) \quad (9)$$

$$Z_{3n}(z) = A \{ (C_1 C_2 - \alpha_1 S_1 S_2) \cos \beta_3 (z - H_2) - \alpha_2 (C_1 S_2 + \alpha_1 S_1 C_2) \sin \beta_3 (z - H_2) \} \quad (H_2 \leq z < H_3) \quad (10)$$

$$Z_{4n}(z) = A \{ (C_1 C_2 C_3 - \alpha_1 S_1 S_2 C_3 - \alpha_2 C_1 S_2 S_3 - \alpha_3 C_1 C_2 S_3) \cos \beta_4 (z - H_3) / S_4 \} \quad (H_3 \leq z < H_4) \quad (11)$$

となるが、 $\ell_k = H_k - H_{k-1}$ ,  $\beta_k = \omega_k \ell_k$ ,  $\alpha_k = \sqrt{\rho_k G_k / \rho_{k+1} G_{k+1}}$ ,  $S_k = \sin \beta_k$  かつ  $C_k = \cos \beta_k$  が成り立っている。

固有モード型を計算するためには固有振動数  $\rho_n$  を知る必要があるが、固有振動数方程式はやはり境界条件より誘導できる。单層、二層、三層そして四層地盤においてはそれそれ

$$C_1 = 0 \quad (12) \quad C_1 C_2 - \alpha_1 S_1 S_2 = 0 \quad (13)$$

$$C_1 C_2 C_3 - \alpha_1 S_1 S_2 C_3 - \alpha_2 C_1 S_2 S_3 - \alpha_3 C_1 C_2 S_3 = 0 \quad (14)$$

$$\begin{aligned} & C_1 C_2 C_3 C_4 - \alpha_1 S_1 S_2 C_3 C_4 - \alpha_2 C_1 S_2 S_3 C_4 - \alpha_3 C_1 C_2 S_3 C_4 - \alpha_4 C_1 S_2 C_3 S_4 - \alpha_5 C_1 C_2 S_3 S_4 \\ & + \alpha_3 \alpha_4 S_1 S_2 S_3 S_4 - \alpha_1 \alpha_2 \alpha_3 S_1 C_3 C_4 S_4 = 0 \end{aligned} \quad (15)$$

と外層になるにつれて複雑な超越方程式になるため、一般には数值解法により根を求めている。

## ii) 高次超越方程式の数值解法 — Newton の逐次近似法 —

ある高次の超越方程式  $f(\rho_n) = 0$

の根を適当に  $\rho_{n1}$  とする。ただし、 $\rho_{n1}$  は真の根にある程度近い値とする。ニクヒキ  $\rho_{n1}$  よりも真の根  $\rho_n$  に近い値  $\rho_{n2}$  は次式で表わせる。

$$\rho_{n2} = \rho_{n1} - \{ f(\rho_{n1}) / f'(\rho_{n1}) \} \quad (17)$$

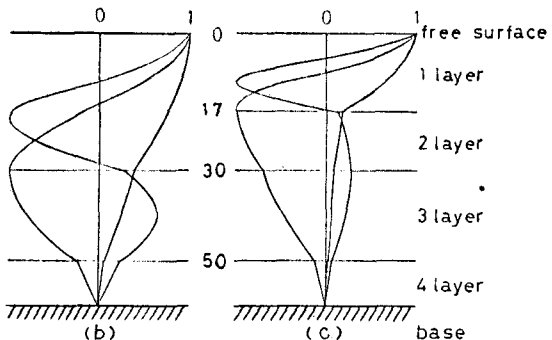
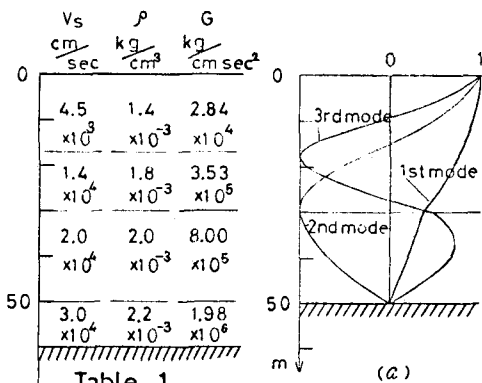
ここに、 $f'(\rho_{n1})$  は  $f(\rho_n)$  の微分係数の  $\rho_{n1}$  における値である。また近似値  $\rho_{nr}$  は

$$\rho_{nr} = \rho_{n1} - \{ f(\rho_{n1}) / f'(\rho_{n1}) \} \quad (18)$$

となるが、操作をくり返しを行えば必要な桁まで  $\rho_n$  の正しい値を求めることができる。根の精度は逐次みの累比級数で改良される。式(13), (14) および(15)の振動数方程式の場合は根の正数値の小さなより  $\rho_1, \rho_2, \rho_3, \dots, \rho_n$  と  $n$  次まで計算される。

## 3. 軟弱多層地盤の地震応答解析

青森県津軽大橋(長泥橋)架設地盤において、1968年東洋性波探査隊による橋台部、橋脚部および地盤の振動測定(式(3), (4))は、渡辺等によって行われて、火薬爆発によって発生する弾性波を解析した結果がみる報告(式(3), (4))されていて、それによると現地の地盤構造は大まかに二層であるが四層まで考えられ、その弾性特性は表-1 に示す通りであった。今三通りのモデルを考え、地下 60 m までを地盤とみなして二層、三層そして四層の場合の固有モード型を上述の方法により計算(図-1)した。



layer	2	3	4
T <sub>1</sub>	1.126	1.173	1.707
T <sub>2</sub>	0.416	0.445	0.750
T <sub>3</sub>	0.258	0.270	0.492
T <sub>4</sub>	0.178	0.167	0.327
T <sub>5</sub>	0.139	0.152	0.276
T <sub>6</sub>	0.116	0.124	0.215
T <sub>7</sub>	0.096	0.106	0.178
T <sub>8</sub>	0.063	0.093	0.165
T <sub>9</sub>	0.046	0.051	0.139
T <sub>10</sub>	0.066	0.073	0.128

Natural Period (sec)

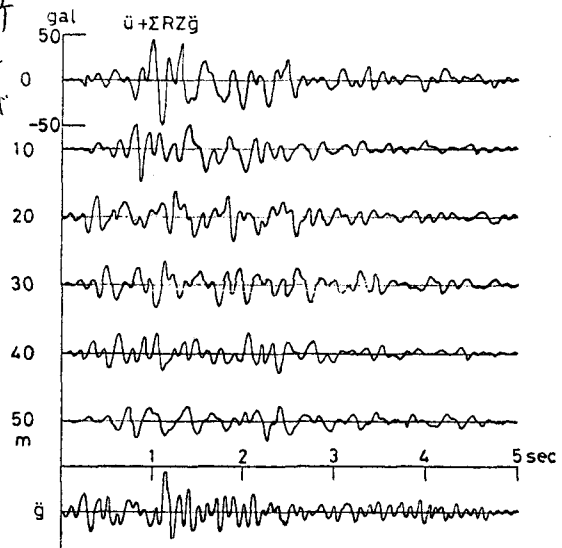
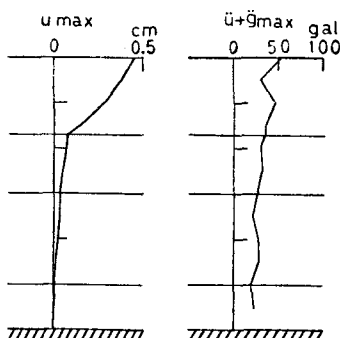
Table 2

(a) 及 (b) の表層については表-1の二層目の値、つまり  $\rho = 1.8 \times 10^3 \text{ kg/cm}^3$ ,  $G = 3.63 \times 10^5 \text{ kg/cm sec}$  および剪断波の速度  $v_s = 1.4 \times 10^4 \text{ cm/sec}$  で計算した。モード型は3次までのせたが、固有周期は  $T = 2\pi/\omega_n$  より求め、二層、三層および四層についてそれぞれ 10 次まで表-2に示した。

次に式(2)を使用して各層の応答計算を行ったが、前述のれ次モード展開係数  $P_{knn}$  の収斂の度合を考えて30次まで計算にくみ込んだ。そのうち、地中地震計(東京振動研究所製作 TM-3型地中地震計)で記録した小地震の一つ( $\ddot{u}_{max} = 50 \text{ gal}$ )

を強制外力として計算した絶対加速度応答波形を図-2に示しておく。これみると地表と地下 10 m での波形そして地下 20 m と 30 m での波形は半波半波相似な部分がみられるが他は別々な応答波形を示していることが容易に判るが、これは層の弾性特性が違うための影響であろう。

しかし、応答波形をスペクトル解析で周期分析してみると  $0.6 \sim 0.7 \text{ sec}$  近傍がかなりピークになっているので表-1の四層における2次振動が卓越しているとみてよからう。



また、相対変位および絶対加速度の両応答のうち最大値のみプロットすると図-3と示す通りになる。相対変位の場合は地表層部が支配的であるが絶対加速度の最大値は地中深部においてもかなりの振幅値をもつている。

#### 4 分散性表面波より求めた地中の理論的な振幅分布

文献(3)の田治米等の報告によれば、小爆破実験の経験から表面波部を  $M_{II}$  波、 $M_{VI}$  波と考えて、理論的な分散曲線の試算を行なっている。地層の Poisson ratio が 0.5 に近い軟弱地盤での弾性波記録では I 群(初動  $P$  波部)、II 群(圧力波部)、III 群( $M_{VI}$  表面波部)および IV 群( $M_{II}$  表面波部)が顕著に表われるが、田治米はこの III、IV 群の表面波の分散曲線より四層地盤として地下構造を決定している。もちろん  $P$  波、 $S'$  波および圧力波もあわせて考慮している。

また、 $M_{II}$  波の地中における理論的な振幅分布を計算し図-4 のごとく示した。実測された波群の周期の中では最大周期に近い位相の振幅分布のみ計算してあるが、図をみると IV 群の大半のエネルギーが最表層に貯えられている。ここで  $T$ 、 $H$  はそれぞれ垂直、水平振幅を示す。

そしてこの振幅分布と図-1 に示したモード型を比較してみると 1 次めろいは 2 次のモードに一致する。しかも最表層部の振幅が圧倒的に大きいことから表面波のエネルギーは地中深部には影響していないことは明確である。しかし図-1 の固有モード型は 2 次、3 次のモードでも最表層比で特に振幅が小さくなっているわけではない。

さて振動周期を考えてみると、図-4 では  $T=0.635 \text{ sec}$  のものであるが、これは表-3 の固有周期でいえば四層地盤について 2 次 ( $T_2=0.750 \text{ sec}$ )、3 次 ( $T_3=0.492 \text{ sec}$ ) に近い値である。

#### 5 あとがき

以上純粹な波動理論を用ひず地盤を簡単なバネ系に置換する方法により、地盤の地震応答を数式的に表わした。*Idriss and Seed*<sup>(1)</sup> は地盤の弾性特性が深さとともに変化する場合、つまり剪断弾性係数  $G$  が深さ  $z$  との間に  $G = K z^{\beta}$  で変化する場合について述べているが、筆者は深さに対する弾性特性的相違を成層地盤で解決している。

数値計算には東大 HITAC 5020 および北大 FACOM-230-60 を使用した。

なお本文作成にあたり北大工学部震災防災教授の種々の御助言に感謝致します。

#### 参考文献

- 1) *Idriss and Seed*; 「Seismic Response of Horizontal Soil Layers」 1968  
proc. of A.S.C.E.
- 2) *Ewing, Jardesky and Press*; 「Elastic Waves in Layered Media」  
MCGRAW-HILL Book Company inc.
- 3) 田治米他; 「青森県長泥橋の橋脚の振動測定と地盤調査」 1969.2 北大地震物理学研究報告  
No.1号, 物理探査次の巻を 1 号
- 4) 渡辺金子; 「軟弱地盤の地震応答について」 1970 第2回国土木学会年次学術講演会講演集  
橋の

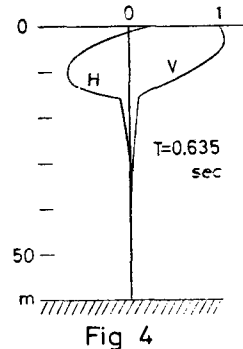


Fig. 4